

تعیین مقدار تراکم در ورودی‌ها با استفاده از مدل Bi-GDEA

مهديه بابایان^{*}، عقيله حيدري^۱، عليرضا داودي^۲

۱- دانشگاه پيام نور، كارشناس ارشد گروه رياضي

۲- دانشگاه پيام نور، دانشيار گروه رياضي

۳- دانشگاه آزاد اسلامي، واحد نيشاپور، گروه رياضيات، نيشاپور، ايران

رسيد مقاله: ۲۷ فروردین ۱۳۹۱
پذيرش مقاله: ۱۸ مرداد ۱۳۹۱

چكیده

در اين مقاله ابتدا يك مدل تحليل پوششی داده‌های تعیین یافته دو هدفی (Bi-GDEA) معرفی می‌شود. با استفاده از اين مدل می‌توان يك نگاشت نقطه به مجموعه از يك واحد تصميم گيرنده ناکارا به زير مجموعه‌اي از مرز مجموعه امكان توليد به دست آورد. اين نگاشت به كمك يك الگوريتم ايجاد می‌شود. در اين مقاله با در نظر گرفتن مدل Bi-GDEA و الگوريتم نگاشت نقطه به مجموعه سعی می‌كنيم الگوريتم را طوري توسعه دهيم که به كمك آن بتوان وجود تراکم در ورودی‌ها و ميزان آن را برای يك واحد تصميم گيرنده تعیین کرد.

كلمات کلیدی: تحليل پوششی داده‌ها، تراکم، مدل DEA، تعیین یافته.

۱ مقدمه

تحليل پوششی داده‌ها (DEA) يك روش غير پaramتری برای اندازه گيري کارايی نسبی واحدهای تصميم گيرنده (DMU) روی چندين ورودی و خروجي است. تحليل پوششی داده‌ها با روش قدرتمدی که در دست دارد، قادر است مدیريت را در جهت نيل به اهداف عالي سازمان و در جهت استفاده بهينه از منابع و تخصيص آنها و در نهايit کسب سود آوري بيشتر ياري رساند. اگر چه شکل‌های متفاوت و مجزايی از DEA برای اداره کردن مسایل توليد استفاده شده است اما همه مدل‌های DEA در راستاي مفهوم مرز کارايی واحدهای تصميم گيرنده (DMU) برای تبدیل چندين ورودی به چندين خروجي به دست می‌آيند. از جمله مدل‌های مختلف DEA، مدل CCR، مدل BCC، مدل FG، مدل ST، و غيره ارایه شده‌اند. Yu, Wei, [1] و همچنین Yu و Hamkarان در مقاله يك مدل تعیین یافته برای تحليل پوششی داده‌ها [2 و 3] يك مدل تعیین یافته GDEA (GDEA) با سه پaramتر دودويي ($\delta_1, \delta_2, \delta_3$)، برای ارائه يك مدل يكتا از مدل‌ها و روش‌های DEA معرفی

* عهده دار مکاتبات

آدرس الکترونیکی: m_babayan88@yahoo.com

می‌کند. همچنین بر پایه مدل GDEA، یک مدل GDEA دو هدفی (Bi-GDEA) پیشنهاد شده است و یک روش کارا برای ساخت تصویر نگاشت نقطه به مجموعه یک واحد غیر کارا ارایه می‌شود که شرح کامل آن در مقاله‌ی "یک مدل تحلیل پوششی داده‌های تعیین یافته دو هدفی و تصویر نگاشت نقطه به مجموعه [۴] آمده است. در این مقاله الگوریتم نگاشت نقطه به مجموعه را برای تشخیص وجود تراکم در یک واحد و تعیین مقدار آن گسترش می‌دهیم. تراکم در ورودی زمانی صورت می‌گیرد که با افزایش آن ورودی و با ثابت نگه داشتن بقیه ورودی‌ها شاهد کاهش در یک یا چند خروجی بدون بهتر شدن سایر خروجی‌ها باشیم.

۲ مدل Bi-GDEA و تصویر نگاشت نقطه به مجموعه

برای DMU_{j_0} ، با ورودی و خروجی (x_0, y_0) ، مدل Bi-GDEA را در نظر می‌گیریم [۴]:

فرض کنیم n واحد داریم که s خروجی ($r = 1, \dots, s$; $j = 1, \dots, n$) را با استفاده از m ورودی x_{ij} ($i = 1, \dots, m$; $j = 1, \dots, n$) تولید می‌کنند پس X یک ماتریس ورودی $m \times n$ و Y یک ماتریس خروجی $s \times n$ است.

$$Min \quad h_0 = (k_1 \theta - k_2 z)$$

(p) s.t.

$$\begin{pmatrix} X \lambda - \theta x_0 \\ Y \lambda + z y_0 \end{pmatrix} \in W^*,$$

$$\delta_1 (e^T \lambda + \delta_2 (-1)^{\delta_1} \lambda_{n+1}) = \delta_1,$$

$$\lambda \in -K^*, \lambda_{n+1} \geq 0,$$

$$\theta \leq 1, z \geq 1.$$

یک مخروط محدب بسته و $W^* \subseteq E_+^{m+s}$ است. $W \subseteq E^{m+s}$ مخروط قطبی منفی از W است. $K \subseteq E_+^n$ یک مخروط محدب بسته و $IntK \neq \emptyset$ است همچنین $K^* \subseteq E_+^m$ مخروط قطبی از K است. وزن‌های مثبت هستند که کارایی تصمیم گیرنده‌ها روی کاهش ورودی‌ها و افزایش خروجی‌ها را به ترتیب توصیف می‌کند.

مقادیر مختلف از پارامترهای دودویی $0-1$ ، $\delta_1, \delta_2, \delta_3$ باعث ایجاد مدل‌های تعیین یافته Bi-GDEA مختلف می‌شوند. با فرض داشتن بردار ورودی و خروجی (x, y) برای هر DMU_j ، مجموعه امکان تولید T به صورت زیر تعریف می‌شود:

$$T = \left\{ (x, y) \mid \begin{pmatrix} X \lambda - x \\ Y \lambda + y \end{pmatrix} \in W^*, \delta_1 (e^T \lambda + \delta_2 (-1)^{\delta_1} \lambda_{n+1}) = \delta_1, \lambda \in -K^*, \lambda_{n+1} \geq 0 \right\}$$

بنابراین برای وزن‌های مختلف (k_1, k_2) ، تصویرهای مختلف از واحد تصمیم گیرنده مورد نظر بر روی مرز مجموعه امکان تولید به دست می‌آوریم. اجتماع این تصاویر تحت یک مدل Bi-GDEA یک زیر مجموعه از مرز تولید را تشکیل می‌دهد، که انتخاب‌های بهبود یافته کارا را فراهم می‌کند. ما این مجموعه را یک تصویر نگاشت نقطه به مجموعه می‌نامیم. برای DMU_j ، با ورودی و خروجی (X_0, Y_0) ، یک نگاشت نقطه به مجموعه

$$F : (x_0, y_0) \rightarrow F(x_0, y_0) = \{(\theta x_0, z y_0) \mid (\theta x_0, z y_0) \in T, \theta \leq 1, z \geq 1\}$$

داده می شود، واضح است که $F(x_0, y_0)$ یک زیر مجموعه از مجموعه ای امکان تولید T ، برای کاهش ورودی x_0 و افزایش خروجی y_0 است. همچنین در مقاله [۴] الگوریتمی برای ساختار تصویر نگاشت نقطه به مجموعه ای (x_0, y_0) تعریف می شود. به کمک این الگوریتم سعی می کنیم مدلی برای تعیین تراکم ارایه دهیم.

۳ مدل پیشنهادی برای تعیین میزان تراکم

مدل‌هایی که تا کنون برای تعیین وجود و میزان تراکم پیشنهاد شده‌اند همه بر پایه تعریف تراکم ساخته شده‌اند. اما در این جا ما یک نگاه جدید به مساله تراکم داریم. به کمک مدل Bi-GDEA و تصویر نگاشت نقطه به مجموعه آن و ترکیب آن با مدل‌های خروجی محور و ورودی محور برای تراکم در راستای هر ورودی به طور جداگانه، تصاویر واحد مورد نظر را روی مرز تراکم و شیب (ρ) خطوط یا ابر صفحه‌های ساخته شده از این تصاویر روی مرز تراکم را مشخص می‌کنیم. چنانچه این شیب منفی باشد، یعنی خط یا ابر صفحه مورد نظر روی مرز تراکم در حال نزول است که این نشان می‌دهد با افزایش ورودی مورد نظر شاهد کاهش خروجی هستیم پس در راستای این ورودی تراکم داریم که در ادامه شیوه‌ای برای محاسبه آن ارایه می‌دهیم.

مدل ارایه شده در جدول ۱ را برای تعیین تراکم ورودی $k_{\text{ام}}$ در نظر بگیرید [۵]:

جدول ۱. مدلی برای تعیین تراکم ورودی Kام

| ورودی محور (P_{input}) | | خروجی محور (P_{output}) | |
|---|------------------------------|---|--------------------|
| Min | θ | Max | z |
| $s.t.$ | | $s.t.$ | |
| $\sum_j x_{kj} \lambda_j = \theta x_{k_0},$ | $k = 1, \dots, m,$ | $\sum_j x_{ij} \lambda_j = x_{i_0},$ | $i = 1, \dots, m,$ |
| $\sum_j x_{ij} \lambda_j = x_{i_0},$ | $i = 1, \dots, m, i \neq k,$ | $\sum_j y_{rj} \lambda_j \geq y_{r_0},$ | $r = 1, \dots, s,$ |
| $\sum_j y_{rj} \lambda_j \geq y_{r_0},$ | $r = 1, \dots, s,$ | $\sum_j \lambda_j = 1,$ | $j = 1, \dots, n,$ |
| $\sum_j \lambda_j = 1,$ | $j = 1, \dots, n,$ | $\lambda_j \geq 0,$ | $j = 1, \dots, n.$ |
| $\lambda_j \geq 0,$ | $j = 1, \dots, n.$ | | |

برای تعیین تراکم DMU_{j_0} در جهت ورودی $k = 1, \dots, m$ به صورت زیر عمل می‌کنیم:
اگر مقدار بهینه P_{input} برابر ۱ شود، DMU_{j_0} در جهت ورودی k دارای تراکم نیست و اگر مقدار بهینه P_{input} در جهت ورودی k کمتر از ۱ باشد الگوریتم زیر را برای تعیین وجود و میزان تراکم اجرا می‌کنیم.

الگوریتم تعیین تراکم

مرحله ۱: (i) فرض می‌کنیم $k_1 = 1, k_r = 1$ و مساله زیر را حل می‌کنیم:

$$\begin{aligned} \text{Min } & (\theta - z) \\ (\text{p}_1) \quad \text{s.t. } & \sum_j x_{kj} \lambda_j = \theta x_{k}, \quad k = 1, \dots, m, \\ & \sum_j x_{ij} \lambda_j = x_{i}, \quad i = 1, \dots, m, i \neq k, \\ & \sum_j y_{rj} \lambda_j \geq y_{r}, z, \quad r = 1, \dots, s, \\ & \sum_j \lambda_j = 1, \quad j = 1, \dots, n, \\ & \lambda_j \geq 0, \quad j = 1, \dots, n, \\ & \theta \leq 1, z = 1. \end{aligned}$$

که جواب بهینه برابر (θ_1, z_1) است.

(ii) فرض می‌کنیم $k_1 = 1, k_r = 1$ و مساله زیر را حل می‌کنیم:

$$\begin{aligned} \text{Min } & (\theta - z) \\ (\text{p}_r) \quad \text{s.t. } & \sum_j x_{ij} \lambda_j = x_{i}, \quad i = 1, \dots, m, \\ & \sum_j y_{rj} \lambda_j \geq y_{r}, z, \quad r = 1, \dots, s, \\ & \sum_j \lambda_j = 1, \quad j = 1, \dots, n, \\ & \lambda_j \geq 0, \quad j = 1, \dots, n, \\ & \theta = 1, z \geq 1. \end{aligned}$$

جواب بهینه برابر (θ_2, z_2) است. قرار می‌دهیم $l = 2$

مرحله ۲: قرار می‌دهیم

$$k_1^i = z_{i+1} - z_i, \quad k_r^i = \theta_{i+1} - \theta_i, \quad \rho_i = \frac{k_1^i}{k_r^i}, \quad i = 1, 2, \dots, l-1$$

برای $i = 1, 2, \dots, l-1$ ، حل می‌کنیم

$$\begin{aligned}
 \text{Min} \quad & (k_{\text{v}}^i \theta - k_{\text{v}}^i z) \\
 (p(k_{\text{v}}^i, k_{\text{v}}^i)) \quad & \text{s.t.} \\
 \sum_j x_{kj} \lambda_j & = \theta x_{k0}, \quad k = 1, \dots, m, \\
 \sum_j x_{ij} \lambda_j & = x_{i0}, \quad i = 1, \dots, m, \quad i \neq k, \\
 \sum_j y_{rj} \lambda_j & \geq y_{r0} z, \quad r = 1, \dots, s, \\
 \sum_j \lambda_j & = 1, \quad j = 1, \dots, n, \\
 \lambda_j & \geq 0, \quad j = 1, \dots, n, \\
 \theta & \leq 1, \quad z \geq 1.
 \end{aligned}$$

جواب بهینه (θ'_i, z'_i) به دست می‌آید. اگر

$$\frac{\theta'_i - \theta_i}{\theta_{i+1} - \theta_i} = \frac{z'_i - z_i}{z_{i+1} - z_i} \quad (1)$$

(θ'_i, z'_i) کنار گذاشته می‌شود. فرض کنید که \bar{l} نقطه وجود داشته باشد که در (1) صدق نمی‌کند. اگر $\bar{l} = 0$ به مرحله ۳ می‌رویم، در غیر این صورت ادامه می‌دهیم. \bar{l} جواب بهینه $i = 1, \dots, \bar{l}$ ، و l نقطه اصلی $i = 1, \dots, l$ ، را بر حسب مولفه‌های اول به ترتیب غیر نزولی مرتب می‌کنیم:

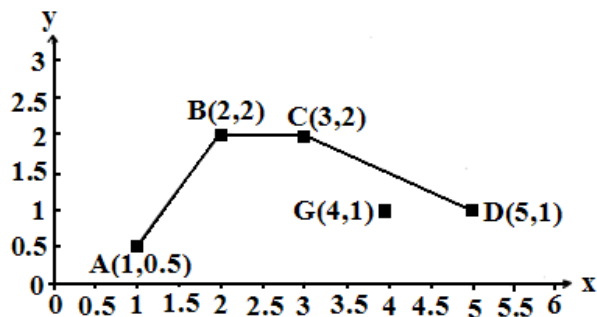
$$\theta_1 \leq \theta_2 < \dots < \theta_{l+\bar{l}} = 1$$

قرار می‌دهیم $\bar{l} = l + 1$ و به مرحله ۲ برمی‌گردیم.

مرحله ۳: اگر $\rho_{l-1} < 0$ واحد تحت بررسی دارای تراکم است. و میزان تراکم به صورت زیر محاسبه می‌شود.
 $\delta_K = x_{0K} - \theta_{l-1} x_{0K}$

برای روشن شدن بیشتر عملکرد الگوریتم یک مثال برگرفته از مرجع [۵] را برای تعیین مقدار تراکم، با این روش حل می‌کنیم:

مثال ۱. واحدهای نشان داده شده در شکل ۱ با یک ورودی و یک خروجی را در نظر بگیرید. وجود تراکم در واحد G را بررسی می‌کنیم.



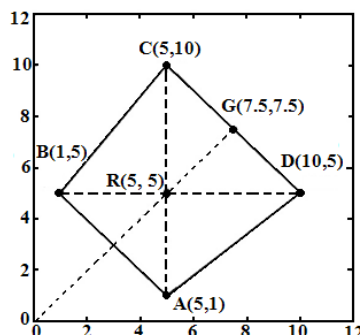
شکل ۱.

مقدار بهینه P_{input} برابر $3333 / 3333 = \theta^*$ است، پس الگوریتم را برای آن اجرا می‌کنیم. در انتها چون $\rho_1 = -2$ پس واحد تحت بررسی دارای تراکم است و میزان تراکم به صورت زیر محاسبه می‌شود.

$$\delta_1 = x_{01} - \theta_{1-1} x_{01} = 4 - 0 / 75 \times 4 = 1$$

که این جواب با جواب به دست آمده از روش کوپر در مرجع [۵] معادل است.

مثال ۲. فرض کنید شش واحد $x_1, x_2, x_3, x_4, x_5, x_6$ با دو ورودی A, B, C, D, G, R به صورت شکل ۲ داریم. خروجی واحد R برابر $y=10$ است و خروجی دیگر واحد ها برابر ۱ است.



شکل ۱

پاسخهای داده شده به این مساله توسط کوپر و دیگران [۵ و ۶] در جدول ۲ قابل مشاهده است.

جدول ۲

| DMU | A | B | C | D | G | R |
|--------------|---|---|----|----|-----|---|
| φ^* | 1 | 1 | 10 | 10 | 10 | 1 |
| $S_1^{-C^*}$ | 0 | 0 | 0 | 5 | 2/5 | 0 |
| $S_2^{-C^*}$ | 0 | 0 | 5 | 0 | 2/5 | 0 |

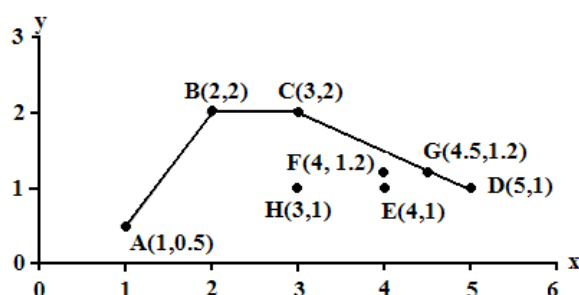
اکنون این مساله را با روش ارایه شده در این فصل حل می‌کنیم. پاسخ را در جدول ۳ آورده‌ایم:

جدول ۳.

| واحد | k=1 | k=2 |
|------|---|---|
| A | $P_{input} = 1$ بدون تراکم | $P_{input} = 1$ بدون تراکم |
| B | $P_{input} = 1$ بدون تراکم | $P_{input} = 1$ بدون تراکم |
| R | $P_{input} = 1$ بدون تراکم | $P_{input} = 1$ بدون تراکم |
| C | $P_{input} = 1$ بدون تراکم | $\rho_2 < 0$ $\delta_1 = x_{02} - \theta_2 x_{02} = 5$ |
| G | $\rho_2 < 0$ $\delta_1 = x_{01} - \theta_2 x_{01} = 2/5$ | $\rho_2 < 0$ $\delta_1 = x_{02} - \theta_2 x_{02} = 2/5$ |
| D | $\rho_2 < 0$ $\delta_1 = x_{01} - \theta_2 x_{01} = 5$ | $P_{input} = 1$ بدون تراکم |

همان‌طور که مشاهده می‌کنید جواب‌های به دست آمده از روش ما دقیقاً با جواب‌های روش کوپر که در جدول ۲ آمده است برابر است.

مثال ۳. اکنون مثالی برگرفته از مرجع [۱] را در نظر بگیرید. که در آن هشت واحد تصمیم گیرنده با یک ورودی و یک خروجی داریم. A,B,C,D,E,F,G,H



شکل ۲

این مثال توسط کوپر و همکاران [۷] حل شده است که پاسخ در جدول ۴ آمده مشاهده است.

جدول ۴.

| DMU | A | B | C | D | E | F | G | H |
|-------------|---|---|---|---|---|---|-----|---|
| $S_i^{C^*}$ | ۰ | ۰ | ۰ | ۲ | ۱ | ۱ | ۱/۵ | ۰ |

در اینجا این مثال را به وسیله الگوریتم پیشنهادی حل می کنیم. پاسخ را در جدول ۵ آورده ایم.

جدول ۵.

| واحد | |
|------|---|
| A | $P_{input} = 1$ بدون تراکم |
| B | $P_{input} = 1$ بدون تراکم |
| C | $P_{input} = 1$ بدون تراکم |
| H | $\rho_1 > 0, \rho_2 = 0$ بدون تراکم |
| D | $\delta_1 = x_{01} - \theta_{l-1} x_{01} = 2$ |
| E | $\delta_1 = x_{01} - \theta_{l-1} x_{01} = 1$ |
| F | $\delta_1 = x_{01} - \theta_{l-1} x_{01} = 1$ |
| G | $\delta_1 = x_{01} - \theta_{l-1} x_{01} = 1/5$ |

همان طور که مشاهده می کنید جواب های به دست آمده از روش ما با جواب های روش کوپر در جدول ۴ دقیقاً برابر است. با توجه به مثال های قبل و اجرای الگوریتم برای آنها معمولاً در مورد واحدهایی که دارای تراکم نیستند با محاسبه مقدار بهینه P_{input} ، اگر این مقدار برابر ۱ شود به راحتی می توان عدم وجود تراکم را نتیجه گرفت. همچنین برای واحدهای دارای تراکم غالباً با دوبار یا سه بار تکرار مرحله ۲ که در هر دفعه فقط نیاز است که مساله P_{input} حل شود می توان به وجود تراکم پی برد و در مرحله ۳ آن را محاسبه کرد.

۴ نتیجه گیری

مدل‌های پایه‌ای تراکم در بعضی موارد نمی‌توانند وجود تراکم و میزان آن را به درستی تعیین کنند برای مثال در مساله حل شده بالا به کمک مدل FGL و یا به کمک مدل BCSW برای واحد G، تراکم مشخص نمی‌شود. روش ارایه شده در این مقاله می‌تواند میزان تراکم واحدها را در هر مساله به درستی تعیین کند. همچنین به کمک آن می‌توان معادله ابر صفحه‌ای که باعث ایجاد تراکم شده است تعیین کرد و به طور هم زمان می‌توان معادله ابر صفحه‌های کارا برای واحد مورد نظر را پیدا کرد. تغییرات جزئی در هر مرحله باعث ایجاد سرعت عمل در محاسبات می‌شود. در حالی که روش یک مرحله‌ای به مقدار ۶ وابسته است و در اصل سه مرحله را برای تعیین تراکم انجام می‌دهد.

منابع

- [1] Wei, Q. L., Yu, G., (1997). Analyzing properties of K-cones in the generalized data envelopment analysis model. *Journal of Econometrics* 80.
- [2] Yu, G., Wei, Q. L., Brockett, P., (1996). A generalized data envelopment analysis model: A unification and extension of existing methods for efficiency analysis of decision making units, *Annals of Operations Research* 66.
- [3] Yu, G., Wei, Q. L., Brockett, P., Zhou, L., (1996). Construction of all DEA efficient surfaces of the production possibility set under the generalized data envelopment analysis model. *European Journal of Operational Research* 95.
- [4] Wei, Q. L., Yan, H., Xiong, L., (2008). A bi-objective generalized data envelopment analysis model and point-to-set mapping projection. *European Journal of Operational Research* 190.
- [5] Cooper, W. W., Seiford, L. M., Zhu, J. A., (2000). Unified additive model approach for evaluating inefficiency and congestion with associated measures in DEA. *Socio-Economic Planning Sciences*.
- [6] Cooper, W. W., Seiford, L. M., Zhu, J. A., (2001). Slacks and congestion: a response to a comment by R. Färeand S. Grosskopf. *Socio Economic Planning Sciences*.
- [7] Cooper, W. W., Deng, H., Huang, Z. M., Li, S. X., (2002). A one-model approach to congestion in data envelopment analysis. *Socio-Economic Planning Sciences*.